

名古屋大学工学部 正員 西畠勇夫
運輸省港湾技術研究所 正員 ○福手 勲

1.はじめに 土砂流出による貯水池および河道の計画量以上の堆砂は、治水、利水の両面につきその機能を減殺するため、大きな社会問題となつてゐる。そのため水源山地からの流出土砂量の推定法や貯水池の計画堆砂量の合理的な設計法の確立が望まれる。

そこで筆者らは、流出土砂量推定の第1段階として土砂流出の原因となる山腹崩壊現象に関して、崩壊土量を崩壊密度、1箇所あたりの崩壊面積および崩壊深の3要素に支配されるものと考え、それらの確率分布形を求めて、崩壊諸量を確率統計量として扱うことを試みたのでここに報告する。

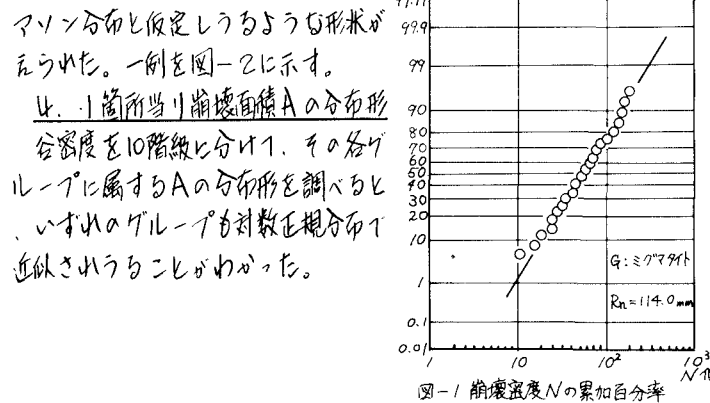
なお分布形を求めるのに用いた資料は建設省發表の天竜川支川、小渦川流域の昭和36年7月豪雨による2次小流域の213個の崩壊データである。

2.崩壊規模に影響する要因 村野¹⁾は天竜川上流域の昭和36年の崩壊に関しては、崩壊密度Nは累加雨量と地質の影響を、また1箇所あたりの崩壊面積A(1つの2次小流域における平均値)は谷密度の影響を受けていると言つてゐる。つまり、降雨量の階級ごとのNの平均値 \bar{N} は降雨量とともに増加し、しかもその様子は地質によつて異なること、また谷密度の階級ごとのAの平均値 \bar{A} は谷密度の増加とともに減少することを指摘してゐる。しかしながら平均値についての議論であり、個々の値は平均値の周りに大きくなつてゐる。以下そのばらつきの分布形を検討してみよう。

3.崩壊密度Nの分布形 Nの資料を降雨量と地質の2つの要因で分割し、各グループごとに、Nの分布形を求めた。ただし本研究では累加雨量の代わりに木宮²⁾の提案する崩壊誘因雨量一地中に浸透し、崩壊に直接関連すると考えられる雨量一用いた。また地質は、(1)三渦川・みかぶ變成岩類 (2)ミグマタイト (3)領家花崗岩 (4)鹿塙ミローナイト の4つに分類されている。

解析の結果、 $N \geq 20$ 個/ km^2 におけるNの分布は、領家花崗岩では正規分布、三渦川帯および鹿塙ミローナイトでは対数正規分布ほぼ近似されうことがわかつた。またその有意性の検定は、資料数の関係で確率紙上のプロットで判断した。その一例を図-1に示す。

また $N < 20$ 個/ km^2 のグループでは一般に $N = 0$ の小流域が増加し、正規分布や対数正規分布ではどうしても近似されなくなる。この場合、Nを計算する単位面積を適当に小さくしてNを計算しなおすと、そのヒストグラムを見ると、多少の誤差を許すから $\pm 10\%$ 。



4.1箇所当たり崩壊面積Aの分布形
谷密度を10階級に分け、その各グループに属するAの分布形を調べると、いずれのグループも対数正規分布で近似されうることがわかつた。

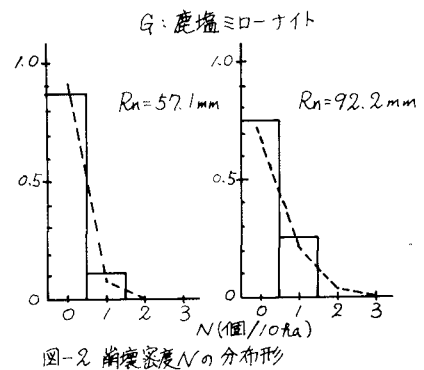


図-2 崩壊密度Nの分布形

5. 崩壊深Hの分布形 崩壊深Hに影響を与える要因に関する研究は、その要因が複雑なためか、あまり詳しくおらずその通説はない。

そこで、本報文では崩壊深Hを規定する要因として、地質、斜面こう配および個々の崩壊面積 A_* を考慮し、分散分析を行なった結果、Hは崩壊面積の影響を受けることがわかった。 A_* とHの平均値 \bar{H} の関係を図-3に示す。図-3にみられるように、 $A_* = 5000 m^2$ のあたりでグラフの様子が大きく異なるので、Hを $A = 5000 m^2$ 以下のグループに分けると、図-4のように、それを小斜数正規分布で近似されうることがわかる。

$A_* = 5000 m^2$ を境にしてHが2つのグループに分かれると理由は明らかではないが、以下のような考察を加えることができる。本対象流域は日本でも有数の地すべり地帯であるが、崩壊を地すべり型と滑落型の2つに分ける比較的に前者の方が大規模であると言われている。^{3) 4)} そこで1つの崩壊に対してそれが地すべり型なら A_* 、Hともに大きく、また滑落型なら A_* 、Hともにトネイ值をりやすいためにそれが選ばれる。ただし地すべり型が、三波川・糸がる等およびミローナイト帯に多いことは確認されているが、サンゴルを両者に分類した資料がなく、ここで検証することはできなかった。

6. 崩壊面積・崩壊土量のシミュレーション 以上求めた分布形を利用して、豪雨の際の崩壊の分布形を求めた。まず多変量解析における重相関係数の意味合いをもたらせ、3b・6豪雨の崩壊をシミュレートした結果のうち、一例として鹿嶺川の結果を図-5に示す。これよりわかるように崩壊面積は実測値に対してもよくシミュレートされつつあるが、崩壊土量は小さめの分布形を示している。崩壊土量が小さめの分布形を示した1つの理由として次のことが考えられる。つまり本シミュレーションでは谷密度から確率的に推定したAを用いてHを推定したが、Aは1つの小流域での平均的な崩壊面積を表わしているため、 $5000 m^2$ を越えることが少くない、 A_* を用いる場合に比較して、Hの大きい方の分布形をとり確率が減ってしまうためであろう。今後、谷密度と A_* の関係の検討をすすめる予定である。

7. おわりに 本研究では、特に大規模な豪雨を対象として解析を進めたが、今後中規模降雨による崩壊資料をも取り入れ、また降雨の確率分布を考慮することにより、1、合理的な土砂流出量の推定が可能になることを期待している。

参考文献

- 1) 村野義郎：山地崩壊に関する2、3の考察 土木研究所報告 第130号 昭41・12
- 2) 木宮一郎：山崩れ頻発地での崩壊予知の研究 応用地質 Vol.13 No.2 昭47・6
- 3) 小出博：地すべりについて 土木学会誌 Vol.47 No.1 昭39・1
- 4) 西畠豊幸：山地の崩壊と地質および雨量との関係について 土木学会論文集 第100号 昭38・12

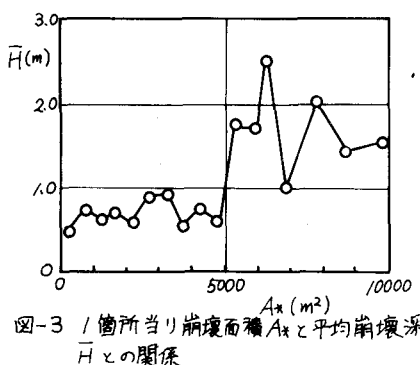


図-3 1箇所当たり崩壊面積 A_* と平均崩壊深 H との関係

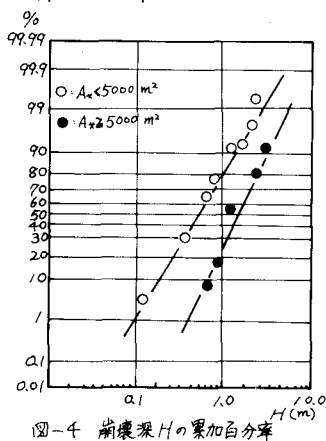


図-4 崩壊深Hの累加百分率

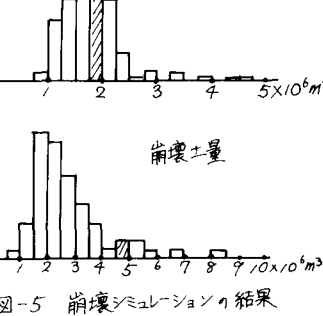
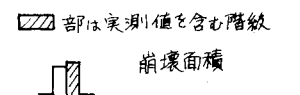


図-5 崩壊シミュレーション結果